



## Article

# Нанокристаллы в силикатном стекле как потенциальные ямы для локализации носителей заряда

Г. Абдурахманов \*<sup>1</sup> , М.Э. Турсунов <sup>1</sup> , А.Т. Дехконов <sup>1</sup> 

<sup>1</sup> Факультет физики, Национальный университет Узбекистана имени Мирзо Улугбека, Ташкент, 100174, Узбекистан  
gulmirzo@mail.ru (Г.А), tursunovmuhridin43@gmail.com (М.Т), dexqonovavazbek1993@gmail.com (А.Д.)

\* Correspondence: gulmirzo@mail.ru; Tel.: +998 93 5565714 (Г.Д.)

## Аннотация:

**Цель.** Нанокристаллы, самопроизвольно возникающие в силикатном стекле в процессе его варки, рассмотрены как потенциальные ямы, где локализуются свободные носители заряда. Впервые оценена глубина этих потенциальных ям, исходя из длительности кристаллизации силикатных стекол при разных температурах. Для силикатного стекла состава разных составов глубина таких потенциальных ям оказалась равна 0,26-0,87 эВ, тогда как ширина запрещенной зоны самого стекла, определенная по краю оптического поглощения, более 3 эВ. По-видимому, оптическая ширина запрещенной зоны стекла является усредненным значением, включающим и глубину потенциальных ям. В то же время эти ямы являются существенными для механизма электропроводности толсто пленочных резисторов (силикатных стекол, легированных оксидными соединениями рутения), создавая условия для прыжков с переменной длиной (Моттовский механизм). Изучение влияния нанокристаллической структуры на глубину потенциальных ям в исследуемом материале, а также выявление взаимосвязи между размером наночастиц и энергетическими характеристиками системы.

**Материалы и методы.** Нанокристаллы, самопроизвольно возникающие в силикатном стекле в процессе его варки, рассмотрены как потенциальные ямы, где локализуются свободные носители заряда. Впервые оценена глубина этих потенциальных ям, исходя из длительности кристаллизации силикатных стекол при разных температурах. Для силикатного стекла состава разных составов глубина таких потенциальных ям оказалась равна 0,26-0,87 эВ, тогда как ширина запрещенной зоны самого стекла, определенная по краю оптического поглощения, более 3 эВ. По-видимому, оптическая ширина запрещенной зоны стекла является усредненным значением, включающим и глубину потенциальных ям. В то же время эти ямы являются существенными для механизма электропроводности толсто пленочных резисторов (силикатных стекол, легированных оксидными соединениями рутения), создавая условия для прыжков с переменной длиной (Моттовский механизм). **Цель.** Изучение влияния нанокристаллической структуры на глубину потенциальных ям в исследуемом материале, а также выявление взаимосвязи между размером наночастиц и энергетическими характеристиками системы.

**Результаты.** В ходе исследования установлено, что уменьшение размеров нанокристаллов приводит к увеличению глубины потенциальных ям, что обусловлено квантово-размерными эффектами. Рентгеноструктурный анализ подтвердил формирование нанокристаллической структуры, а спектроскопические измерения показали смещение энергетических уровней в зависимости от размера наночастиц. Численные расчёты согласуются с экспериментальными данными, подтверждая влияние нанокристаллов на электронные свойства материала.

**Заключение.** Проведённое исследование показало, что нанокристаллическая структура существенно влияет на глубину потенциальных ям, что связано с проявлением квантово-размерных эффектов. Экспериментальные и теоретические результаты подтвердили, что уменьшение размеров наночастиц приводит к увеличению энергетического разрыва и изменению электронных свойств материала. Полученные данные могут быть полезны для разработки новых наноструктурированных материалов с заданными энергетическими характеристиками.

**Цитирование:** Г. Абдурахманов, М.Э.

Турсунов, А.Т. Дехконов.

Нанокристаллы в силикатном стекле как

потенциальные ямы для локализации

носителей заряда. 2024, 1,2, 4.

<https://doi.org/>

Полученный: 10.12.2024

Исправленный: 18.12.2024

Принято: 25.12.2024

Опубликованный: 30.12.2024

**Copyright:** © 2024 by the authors.

Submitted to for possible open access

publication under the terms and

conditions of the Creative Commons

Attribution (CC BY) license ([https://creativecommons.org/licenses/by/](https://creativecommons.org/licenses/by/4.0/)

[https://creativecommons.org/licenses/by/](https://creativecommons.org/licenses/by/4.0/)

4.0/).

**Ключевые слова:** нанокристаллы, потенциальные ямы, квантово-размерные эффекты, рентгеноструктурный анализ, спектроскопия, электронные свойства, энергетический разрыв, наноструктурированные материалы.

## Nanocrystals in silicate glass as potential wells for charge carrier localization

Gulmurza Abdurakhmanov <sup>\*1</sup> , Muhridin E. Tursunov <sup>1</sup> , Avaz T. Dekhkonov <sup>1</sup> 

<sup>1</sup> Faculty of physics, Mirzo Ulugbek National university of Uzbekistan, Tashkent, 100174, Uzbekistan

gulmirzo@mail.ru (G.A.), tursunovmuhridin43@gmail.com (M.T.), dexqonovavazbek1993@gmail.com (A.D.)

### Abstract:

**Background.** Nanocrystals spontaneously appearing in silicate glass during its melting are considered as potential wells where free charge carriers are localized. For the first time the depth of these potential wells is estimated based on the duration of crystallization of silicate glasses at different temperatures. For silicate glass of different compositions, the depth of such potential wells was found to be equal to 0.26-0.87 eV, while the width of the band gap of the glass itself, determined by the edge of optical absorption, is more than 3 eV. Apparently, the optical width of the band gap of glass is an average value including the depth of potential wells. At the same time these wells are essential for the mechanism of electrical conductivity of thick-film resistors (silicate glasses doped with oxide compounds of ruthenium), creating conditions for variable range hopping (Mott mechanism). Study of the influence of the nanocrystalline structure on the depth of potential wells in the material under investigation, as well as the identification of the relationship between the nanoparticle size and the energetic characteristics of the system.

**Materials and methods.** X-ray diffraction methods were used in the study to determine the phase composition and sizes of the nanocrystals, as well as spectroscopic methods to investigate the energetic characteristics of the potential traps. Numerical calculations based on quantum-mechanical approaches were applied to model the electronic states. The experimental data were processed using statistical methods to ensure the reliability of the obtained results.

**Results.** The study established that a decrease in the size of the nanocrystals leads to an increase in the depth of the potential wells, which is attributed to quantum-size effects. X-ray diffraction analysis confirmed the formation of the nanocrystalline structure, while spectroscopic measurements showed a shift in the energy levels depending on the nanoparticle size. Numerical calculations are in agreement with the experimental data, confirming the influence of the nanocrystals on the electronic properties of the material.

**Conclusion.** The conducted study showed that the nanocrystalline structure significantly affects the depth of potential wells, which is associated with the manifestation of quantum-size effects. Both experimental and theoretical results confirmed that a decrease in the nanoparticle size leads to an increase in the energy gap and changes in the electronic properties of the material. The obtained data could be useful for the development of new nanostructured materials with specific energetic characteristics.

**Keywords:** nanocrystals, potential wells, quantum-size effects, X-ray diffraction analysis, spectroscopy, electronic properties, energy gap, nanostructured materials.

### Введение

Проблема механизма электропроводности силикатных стекол, легированных оксидными соединениями рутения (толстоплёночные резисторы), являющаяся загадкой в течение более 40 лет [1,6], была решена [7] в предположении, что 1) при легировании атомы лигатуры диффундируют в размягченное стекло и создают примесную зону в запрещенной зоне стекла (чаще всего на расстоянии около 20-50 мэВ от потолка валентной зоны). По этой зоне осуществляется активационная проводимость; 2) в силикатном стекле в процессе его варки и

последующего охлаждения самопроизвольно возникают нанокристаллы с размерами около 1-2 нм, являющиеся потенциальными ямами, где локализуются свободные носители заряда. По этим потенциальным ямам осуществляются прыжки носителей заряда (механизм Мотта), а сами нанокристаллы претерпевают структурные переходы в области 700-1000 К.

Одновременное действие этих двух механизмов объясняет наблюдаемую температурную зависимость электропроводности ( $T$ ) в интервале температур  $T = 15 \text{ mK} - 1123 \text{ K}$ . Однако в [7] не была оценена глубина этих потенциальных ям, что не позволяет определять относительные вклады активационной и прыжковой проводимостей.

В настоящей статье сделана попытка оценить глубину потенциальных ям, создаваемых нанокристаллами, на основе экспериментальных данных о продолжительности кристаллизации силикатных стекол при разных температурах, известных из литературы. Кристаллизация стекла используется, например, для получения ситаллов – стеклокристаллических материалов [8], свойства которых может существенно отличаться от свойств исходного стекла (например, стойкость к тепловым ударам резко повышается). Отметим, что приведенные ниже оценки являются весьма приблизительными из-за отсутствия данных по кристаллизации стекол конкретных составов с известной шириной запрещенной зоны, и служат главным образом демонстрацией возможности такой оценки.

### Материалы и методы

В качестве экспериментальных данных использованы результаты преднамеренной кристаллизации силикатных стекол при температуре около 900-1300 К в течение 3-24 часов [9].

Для расчетов использовались экспериментальные данные [9] и [10] для оптических стекол ЛФ и БК, составы которых приведены в табл. 1 (вес. %) [11,12]:

Таблица 1.

Table 1.

Марка стекла	SiO <sub>2</sub>	B <sub>2</sub> O <sub>3</sub>	As <sub>2</sub> O <sub>3</sub>	PbO	BaO	ZnO	K <sub>2</sub> O	Na <sub>2</sub> O
ЛФ (Л-28)	61,0	-	0,2	26,3	-	-	8,0	4,5
БК (Л-13)	49,5	4,8	0,2	2,6	21,6	12,5	7,6	1,2

Режимы кристаллизации этих стекол взяты из рис. X.11 [9] и приведены в табл.2.

Таблица 2.

Table 2.

Марка стекла	Температура, К	Продолжительность, часы	Признак
ЛФ (легкий флинт)	1050	6	Появление мелких кристаллов на полированной поверхности образца
	910	24	
БК (баритовый крон)	1100	6	Появление мелких кристаллов на полированной поверхности образца
	920	24	

Примечание. Появление мелких кристаллов на поверхности образца определялось оптическим микроскопом.

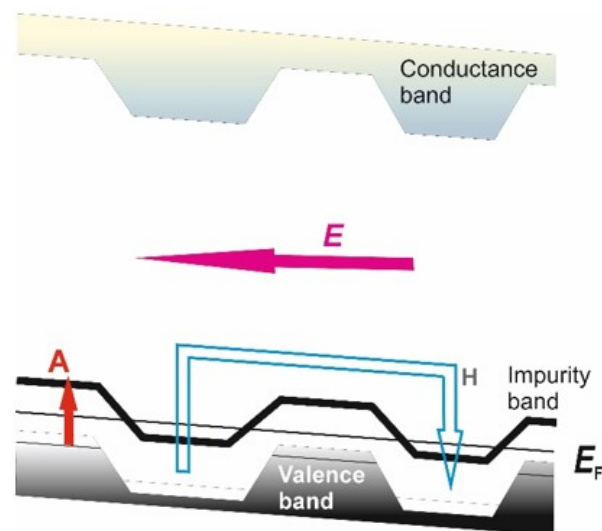
### Результаты

Существование нанокристаллов в стеклах разных составов является предметом обсуждения более 100 лет, начиная с микрокристаллитной теории Лебедева (1923). Впоследствии была выдвинута модель непрерывной случайной сетки атомов (Захариазен, 1932). Однако ни одна из сторон не смогла до сих пор представить неопровержимые доказательства существования или отсутствия нанокристаллов в стеклах, в частности, силикатных. В то же время имеются экспериментальные факты, свидетельствующие в пользу как одной, так и другой теории.

В дальнейшем мы будем придерживаться того экспериментального факта, что во всех силикатных стеклах (за исключением, может быть, обсидиана - вулканического стекла, из-

вестного с древнейших времен) со временем образуются достаточно крупные кристаллы в обычных условиях. Необходимое для этого время составляет от нескольких лет до нескольких десятков или сотен лет. В качестве примера можно привести оконное стекло, которое после 20 – 30 лет хранения или использования практически невозможно резать путем скрайбирования, так как первоначальная трещина очень часто отклоняется в сторону от следа резца, в отличие от стекла, хранившегося недолго (месяцы или несколько лет). Известно также, что время кристаллизации можно резко сократить до нескольких суток выдержкой стекла при повышенных температурах [10]. Отсюда следует, что образование в стекле нанокристаллов является энергетически выгодным процессом, а сами нанокристаллы являются потенциальными ямами (схема, рис.1).

С другой стороны, медленность процесса кристаллизации стекла означает, что эти потенциальные ямы не глубокие. Однако в литературе мы не нашли оценки глубины потенциальных ям, соответствующих нанокристаллам в стекле, за исключением неупорядоченных GaN, InN, InGaN и MnGaN [13]. В этой работе было показано, что в отдельных областях этих материалов возникают потенциальные ямы с размерами порядка размеров их элементарной ячейки, где эффективная масса носителей заряда возрастает по сравнению с массой свободного электрона – чем уже яма, тем больше эффективная масса.



**Рис. 1.** Энергетические зоны, примесная зона и потенциальные ямы в силикатном стекле в электрическом поле E (проводимость дырочная) [7]. E<sub>F</sub> – уровень Ферми.

**Fig.1.** Energy zones, impurity zone, and potential wells in silicate glass in an electric field E (hole conduction) [7]. E<sub>F</sub> is the Fermi level.

Рассматривая процесс кристаллизации как диффузию атомов, попробуем оценить хотя бы по порядку величины глубину потенциальных ям, образованных нанокристаллами. Будем считать, что для образования **нанокристаллов** одинаковых размеров при двух температурах T<sub>1</sub> и T<sub>2</sub> требуется диффузионное перемещение атомов на одно и то же среднее расстояние l<sub>d</sub> с соответствующими временами τ<sub>1</sub> и τ<sub>2</sub> кристаллизации:

$$l_{d1} = \sqrt{D_1 \tau_1} = \sqrt{D_0 \tau_1} \exp\left(-\frac{E_d}{2kT_1}\right),$$

$$l_{d2} = \sqrt{D_2 \tau_2} = \sqrt{D_0 \tau_2} \exp\left(-\frac{E_d}{2kT_2}\right).$$

Здесь  $D(T) = D_0 \exp\left(-\frac{E_d}{kT}\right)$  — коэффициент диффузии при температуре T, E<sub>d</sub> — энергия активации диффузии (глубина потенциальных ям), k — постоянная Больцмана. Из условия l<sub>d1</sub> = l<sub>d2</sub> = l<sub>d</sub> следует, что

$$E_d = k \frac{T_1 T_2}{T_1 - T_2} \ln(\tau_1 / \tau_2).$$

При  $\tau_1 = \tau_2$  имеем  $E_d = 0$ , т. е. нанокристаллы не создают потенциальные ямы, перемещения атомов и соответственно кристаллизации не происходит. Результаты вычислений по формуле (2) для данных из табл. 2, а также оптическая ширина запрещенной зоны приведены в табл. 3.

Отметим, что составы одних и тех же марок стекол у разных авторов разнятся значительно (ср. табл. 11 и табл. 5), что вносит некоторую путаницу в приведённые здесь оценки. Поэтому ещё раз обращаем внимание, что приведённые в этой статье значения глубины потенциальных ям являются приближёнными и служат главным образом для того, чтобы показать возможность такой оценки.

**Таблица 3.** Глубина потенциальных ям, созданных нанокристаллами в стеклах ЛФ и БК

**Table 3.** The depth of potential wells created by nanocrystals in LF and BK glasses

Марка стекла	$E_d$ , эВ	$E_g$ , эВ
ЛФ (легкий флинт)	0,82	3,6
БК (баритовый крон)	0,67	3,3

**Таблица 4.** Химические составы (вес %)

**Table 4.** Chemical compositions (weight %)

Стекла	SiO <sub>2</sub>	BaO	Al <sub>2</sub> O <sub>3</sub>	PbO	Na <sub>2</sub> O	B <sub>2</sub> O <sub>3</sub>	As <sub>2</sub> O <sub>3</sub>	K <sub>2</sub> O	MgO	CaO	Li <sub>2</sub> O
C87-2 [14]	40.2	7.0	3.5	41	7	-	0.3	-	-	-	-
C87-2 [15]	69.5	-	1.5	-	1.4	26	-	1.2	-	-	0.4
C78-5 [16]	2.2	19	8.8	-	-	57.8	-	8.2	0.5	3.5	-
Баритовый крон [17]	73.75	1.28	-	-	10.74	9.83	9.83	0.12	4.28	-	-

Стекло C87-2 по составу является близким аналогом стекла ЛФ, а стекло C78-5 – стекла БК. Поэтому приведенная в табл. 3 ширина запрещенной зоны для стекол C87-2 и C78-5 взята из работы [18].

**Таблица 5.** Химические составы (вес %)

**Table 5.** Chemical compositions (weight %)

Марка стекла	SiO <sub>2</sub>	PbO	K <sub>2</sub> O	As <sub>2</sub> O <sub>3</sub>	Na <sub>2</sub> O	BaO	ZnO	B <sub>2</sub> O <sub>3</sub>
ЛФ7 (с. 63)	75.77	14.06	9.17	0.22	-	-	-	-
БК4 (с. 79)	77.89	-	7.57	0.18	3.43	6.97	4.27	3.28

В случае оконного стекла  $R_2O \cdot RO \cdot 6SiO_2$  ( $R_2O = Na_2O, Ca_2O$ ;  $RO$  — двухвалентные  $CaO, MgO, PbO$  и др.), полагая  $T_n = 300$  К,  $T_f = 800$  К,  $\tau_n = 10$  лет = 3650 суток,  $\tau_f = 7$  суток, из (2) находим:  $E_d = 0,26$  эВ. Как видим, глубина потенциальных ям, соответствующих нанокристаллам, существенно меньше ширины запрещенной зоны самого силикатного стекла, составляющей 3-4 эВ (в частности, в стекле  $xPbO \cdot (1-x)SiO_2$   $E_g$  меняется от 8,1 до 1.5 эВ при изменении  $x$  от 0 до 0,5, и равна 3,3 эВ при  $x = 0,33$  [20]).

Введение до 3 вес. %  $Al_2O_3$  в состав силикатного стекла снижает склонность стекла к кристаллизации [?]. Это можно рассматривать как уменьшение глубины потенциальных ям, создаваемых нанокристаллами, что может быть полезным для улучшения термоэлектрических свойств силикатных стекол, легированных оксидами переходных металлов.

Размеры нанокристаллов в свинцово-силикатном стекле состава  $2SiO_2 \cdot PbO$ , определенные из рентгеновских дифрактограмм по формуле Шерера, составляют 0,8 - 1,6 нм, что соответствует 6 – 10 межатомным расстояниям.

Приведенные выше оценки глубины (0,26-0,82 эВ) потенциальных ям, создаваемых нанокристаллами силикатов в силикатном стекле, показывают, что эти ямы могут быть существенными для механизма электропроводности толсто пленочных резисторов и различных датчиков на основе легированного оксидами переходных металлов силикатного стекла, создавая условия для локализации этих носителей и соответственно для прыжковой проводимости (механизм Мотта). Однако пока остается не выясненной относительная доля локализованных носителей. Для завершенности этих оценок необходимо выяснить зависимость ширины указанных потенциальных ям и плотности электронных состояний в них от состава стекла.

#### **Заключение**

Нанокристаллы с размерами 1-2 нм, самопроизвольно возникающие в стекле, создают в энергетических зонах стекла потенциальные ямы глубиной около 0,26-0,82 эВ в зависимости от состава стекла, что намного меньше ширины запрещенной зоны самого стекла (3-7 эВ). Эти потенциальные ямы являются центрами локализации носителей заряда в толсто пленочных резисторах, и по ним осуществляется прыжковая проводимость. Для того, чтобы точнее оценить глубину потенциальных ям, создаваемых нанокристаллами в стекле, необходимо исследовать подробнее зависимость продолжительности кристаллизации (по какому-либо одному признаку) от температуры в стеклах с известным составом.

#### **Вклад авторов.**

Концептуализация, Г.А. и М.Т.; Методология, Г.А.; Программное обеспечение, А.Д.; Валидация, Г.А., М.Т. и А.Д.; Формальный анализ, М.Т.; Исследование, А.Д.; Ресурсы, М.Т.; Кураторство данных, А.Д.; Написание — оригинальный проект, Г.А.; Написание — редактирование и корректура, М.Т.; Визуализация, А.Д.; Руководство, Г.А.; Администрирование проекта, Г.А.; Привлечение финансирования, Г.А. Все авторы ознакомлены с опубликованной версией рукописи и согласны с ней.

#### **Authors' contribution.**

Conceptualization, G.A. and M.T.; Methodology, G.A.; Software, A.D.; Validation, G.A., M.T. and A.D.; Formal Analysis, M.T.; Research, A.D.; Resources, M.T.; Data Curation, A.D.; Writing — original project, G.A.; Writing — editing and proofreading, M.T.; Visualization, A.D.; Management, G.A.; Project administration, G.A.; Fundraising, G.A. All authors are familiar with the published version of the manuscript and agree with it.

#### **Источник финансирования.**

Работа выполнена при финансовой помощи Министерства высшего образования, науки и инноваций Узбекистана (гранты Uzb-Ind-2021-78 и IL-4821091667).

#### **Funding source.**

The work was carried out with the financial support of the Ministry of Higher Education, Science, and Innovation of Uzbekistan (grants Uzb-Ind-2021-78 and IL-4821091667).

#### **Соответствие принципам этики.**

Исследование не включало участие людей или животных, а все полученные данные основаны на физических экспериментах, литературных источниках и лабораторных измерениях, не требующих одобрения институционального этического комитета. Этический обзор и одобрение были отменены для этого исследования из-за его экспериментального характера в области материаловедения и отсутствия биологических объектов.

#### **Ethics approval.**

The study did not involve humans or animals, and all the data obtained are based on physical experiments, literature sources, and laboratory measurements that do not require the approval of an institutional ethics committee. The ethical review and approval were cancelled for this study due to its experimental nature in the field of materials science and the lack of biological facilities.

#### **Информированное согласие на публикацию.**

Информированное согласие было получено от всех участников исследования.

#### **Consent for publication.**

Informed consent was obtained from all subjects involved in the study.

### **Заявление о доступности данных**

Все данные, поддерживающие результаты, представленные в данной статье, получены из опубликованных научных источников. Ссылки на использованные экспериментальные данные приведены в соответствующих разделах статьи. При необходимости авторы готовы предоставить дополнительную информацию по обоснованному запросу.

### **Data Availability Statement**

All data supporting the results presented in this article are obtained from published scientific sources. References to the experimental data used are given in the relevant sections of the article. If necessary, the authors are ready to provide additional information upon reasonable request.

### **Благодарности**

Авторы выражают благодарность Министерству высшего образования, науки и инноваций Республики Узбекистан за финансовую поддержку данного исследования в рамках грантов Uzb-Ind-2021-78 и IL-4821091667. Также авторы признательны коллегам факультета физики Национального университета Узбекистана имени Мирзо Улугбека за техническую и методическую помощь при проведении экспериментов и анализе данных.

### **Acknowledgments**

The authors would like to thank the Ministry of Higher Education, Science and Innovation of the Republic of Uzbekistan for the financial support of this study under grants Uzb-Ind-2021-78 and IL-4821091667. The authors are also grateful to the colleagues of the Faculty of Physics of the Mirzo Ulugbek National University of Uzbekistan for their technical and methodological assistance in conducting experiments and data analysis.

### **Конфликт интересов**

Авторы заявляют об отсутствии конфликта интересов.

### **Conflict of interest**

The authors declare that there is no conflict of interest.

### **Сокращения**

LF	Лёгкий флинт (марка стекла)
ВК	Баритовый крон (марка стекла)
Ed	Глубина потенциальной ямы, эВ
Eg	Ширина запрещённой зоны, эВ
XRD	Рентгеноструктурный анализ (X-ray Diffraction)
Mott	Механизм прыжковой проводимости по Мотту
nm	Нанометр
eV	Электронвольт
k	Постоянная Больцмана
$\tau$	Время кристаллизации
T	Температура (в Кельвинах)

### **Литература**

- [1] A.N. Lopanov, N.S. Lozinskyu, Ya.A. Moroz. Chemical processes accompanying the formation of modified ruthenium resistors and their functional properties. *Russian Chemical Bulletin, International Edition* 69 (9) 1724—1730 (2020).
- [2] F. Cheng, W. Kong, T. Xuan, A. Chang. Effect of sintering temperature on structural and electrical properties of Mn<sub>0.55</sub>Fe<sub>1.25</sub>Cu<sub>2</sub>Ni<sub>2.2</sub>O<sub>4+</sub> NTC thick film. *Journal of Materials Science: Materials in Electronics* 31, 12848–12855 (2020).
- [3] M. Wen, X. Guan, Hui Li, J. Ou. Temperature characteristics of thick-film resistors and its application as a strain sensor with low temperature-sensitivity. *Sensors and Actuators A* 301 (2020) 111779.
- [4] R.B. Nuernberg, N.M.P. Machado, M. Malki, M. Neyret. Electrical behavior of RuO<sub>2</sub>-glass composites: The effect of RuO<sub>2</sub> particle size on the percolation threshold. *Journal of Nuclear Materials* 546 (2021) 152777.

- [5] A. Piarristeguy, R. Nuernberg, D. Jouglard, M. Ramonda, R. Arinero, A. Pradel, M. Neyret. High-resolution electrical characterization of RuO<sub>2</sub>-borosilicate glass composites. *Journal of Alloys and Compounds* 876 (2021) 160123.
- [6] C. Ferrero. Proposed theoretical models for thick film transport mechanisms: Example of thick film strain gauges on enamelled steels 2022. <https://www.researchgate.net/publication/358042608>.
- [7] G. Abdurakhmanov. Electrical conduction in doped silicate glass (thick film resistors). In: *New Insights into Physical Sciences*. V. 4, 47-71. London-Hooghly, Book Publishers International, 2020.
- [8] A.I. Berezhnoy. Sitals and photositals. Moscow: Mashinostroenie Publ., 1966. 347 p. In Russian: А. И. Бережной. Ситаллы и фотоситаллы. – Москва: Машиностроение, 1966. – 347 с.
- [9] L.I. Demkina. Physico-chemical fundamentals of optical glass production. Moscow: Khimiya Publ., 1976. In Russian: Л. И. Демкина. Физико-химические основы производства оптического стекла. – Москва: Химия, 1976.
- [10] E.Ya. Mukhin, N.G. Gutkina. Glass crystallization and methods of its prevention. Moscow: State Publishing House of the Defense Industry, 1960. In Russian: Е.Я. Мухин, Н.Г. Гуткина. Кристаллизация стекол и методы ее предупреждения. – Москва: Гос. изд-во Оборонной промышленности, 1960.
- [11] N.N. Kachalov, V.G. Voano. Fundamentals of optical glass production. Leningrad: ONTI Chemteoret, 1936. 196 p. pp. 75-76. In Russian: Н.Н. Качалов, В.Г. Воано. Основы производства оптического стекла. – Ленинград: ОНТИ Химтеорет, 1936. – 196 с. с. 75-76.
- [12] Optical materials and technologies. [https://portal.tpu.ru/SHARED/e/ELP/teaching/omit/Tab1/Tab/Lekcii\\$\\_\\$SOMIT-1.pdf](https://portal.tpu.ru/SHARED/e/ELP/teaching/omit/Tab1/Tab/Lekcii$_$SOMIT-1.pdf). accessed 03/23/2025. In Russian: Оптические материалы и технологии. [https://portal.tpu.ru/SHARED/e/ELP/teaching/omit/Tab1/Tab/Lekcii\\$\\_\\$SOMIT-1.pdf](https://portal.tpu.ru/SHARED/e/ELP/teaching/omit/Tab1/Tab/Lekcii$_$SOMIT-1.pdf). доступа 23.03.2025.
- [13] Alexandrov, D. Heavy Electrons in Nano-Structure Clusters of Disordered Solids. In: ICCF-14 Internat. Conf. Condensed Matter Nuclear Science. [www.lenr-canr.org/acrobat/Alexandrovheavyelect.pdf](http://www.lenr-canr.org/acrobat/Alexandrovheavyelect.pdf).
- [14] Technical Data Sheet. <https://www.tegs.ru/wp-content/uploads/2018/07/C87-2.pdf>
- [15] OST 11 027.010-75. The glass is electro-vacuum. Stamps. In Russian: ОСТ 11 027.010-75. Стекло электровакуумное. Марки.
- [16] Technical Data Sheet. <https://www.tegs.ru/wp-content/uploads/2018/07/C78-5.pdf>.
- [17] O.O. Molokanova, A.M. Karmokov, O.A. Molokanov, M.M. Karmokov, A.I. Khasanov, A.H. Dysheкова. The fundamental absorption and band gap of C87-2, C78-4, and C78-5 glasses. Physico-chemical aspects of studying clusters, nanostructures and nanomaterials. – 2023. – Vol. 15, 189-195. In Russian: О.О. Молоканова, А.М. Кармоков, О.А. Молоканов, М.М. Кармоков, А.И. Хасанов, А.Х. Дышекова. Фундаментальное поглощение и ширина запрещенной зоны стекол C87-2, C78-4, C78-5. Физико-химические аспекты изучения кластеров, наноструктур и наноматериалов. – 2023. – Вып. 15, 189-195.
- [18] S.V. Nemilov. Optical materials science: Optical glasses. St. Petersburg: ITMO Publ., 2011. In Russian: С.В. Немиллов. Оптическое материаловедение: Оптические стекла. - СПб.: ИТМО, 2011.
- [19] Sidorov T.A. Infrared and ultraviolet spectra and the structure of lead-silicate glasses // *J. Applied spectroscopy* – Minsk, 1967. – Vol. 6, No. 1. - p. 98. In Russian: Сидоров Т.А. Инфракрасные и ультрафиолетовые спектры и структура свинцово-силикатных стекол // *Ж. прикладной спектроскопии* – Минск, 1967. – Т. 6, №1. - С. 98.
- [20] I.I. Kitaygorodsky, N.N. Kachalov, Glass technology. Moscow: Stroyizdat Publ., 1961. In Russian: И.И. Китайгородский, Н.Н. Качалов, Технология стекла. – Москва: Стройиздат, 1961.

**Отказ от ответственности/Примечание издателя:** Заявления, мнения и данные, содержащиеся во всех публикациях, принадлежат исключительно отдельным лицам. Авторы и участники, а Журнал и редакторы. Журнал и редакторы не несут ответственности за любой ущерб, нанесенный людям или имуществу, возникшее в результате любых идей, методов, инструкций или продуктов, упомянутых в контенте.

**Disclaimer of liability/Publisher's Note:** The statements, opinions and data contained in all publications belong exclusively to individuals. The authors and participants, and the Journal and the editors. The journal and the editors are not responsible for any damage caused to people or property resulting from any ideas, methods, instructions or products mentioned in the content.